

Klassisk vs QM oscillator

(63)

[PCH 3.5.5 ; DFG 2.3.2 ; IØ 3.4.d]

$$\text{QM: } dP_n = |\Psi_n(q)|^2 dq$$

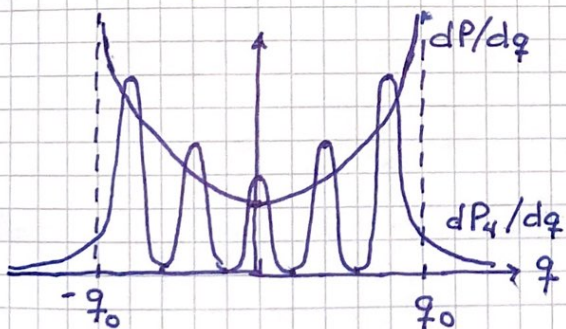
$$\begin{aligned}\text{Klassisk: } dP &= \text{andel av tiden tilbrakt p\aa } (q, q+dq) \\ &= dt/T = (2 \cdot dq/v) / (2\pi/\omega) \\ &= (\omega/v\pi) dq\end{aligned}$$

$$\begin{aligned}q &= q_0 \cos \omega t; \quad v = |\dot{q}| = \omega q_0 |\sin \omega t| \\ &= \omega q_0 \sqrt{1 - \cos^2 \omega t} \\ &= \omega \sqrt{q_0^2 - q^2}\end{aligned}$$

$$\Rightarrow dP = \frac{dq}{\pi \sqrt{q_0^2 - q^2}}$$

For sm\aa verdier av n er det f\aa likhetsbrykk mellom dP_n/dq i QM og dP/dq klassisk.

For store n oscillerer dP_n/dq ca n ganger p\aa det klassiske tillatte omr\aa det $(-q_0, q_0)$, men omhyllningskurven ligner mye p\aa den klassiske dP/dq .



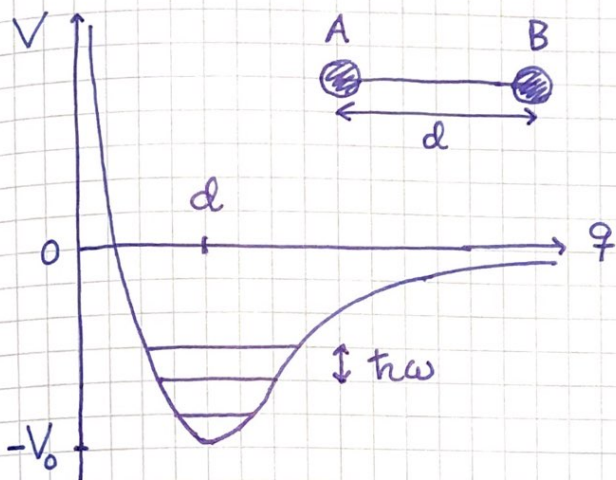
Klassiske vendepunkter:

$$v = 0, \quad K = 0, \quad E = V(\pm q_0) = \frac{1}{2} m \omega^2 q_0^2$$

$$\text{Hvis } E = E_4 = (4 + 1/2) \hbar \omega = \frac{9}{2} \hbar \omega \text{ blir } q_0 = 3 \sqrt{\hbar / m \omega}$$

Toatomige molekyler og Morsepotensialet

Realistisk potensial $V(q)$ for toatomig molekyl:



- Sterk frastøtende kraft ($F = -dV/dq$) når $q < d$
- Tiltrekkende kraft når $q > d$
- Dissosiert molekyl når $q \gg d$ (separate atomer)

Kan modelleres med Morsepotensialet

$$V(q) = V_0 \{ [1 - e^{-\alpha(q-d)}]^2 - 1 \}$$

der $V(\infty) = 0$ og $V(d) = -V_0$ (likevekt)

Nær likevekt:

$$\begin{aligned} V(q) &\approx V_0 \{ [1 - 1 + \alpha(q-d)]^2 - 1 \} \\ &= -V_0 + \alpha^2 V_0 (q-d)^2 \end{aligned}$$

dvs harmonisk oscillator med fjærkonstant

$$k = \mu \omega^2 = 2\alpha^2 V_0 ; \quad \frac{1}{\mu} = \frac{1}{m_A} + \frac{1}{m_B}$$

og kvantiserte vibrasjonsenerginivåer

$$E_n = -V_0 + (n + \frac{1}{2})h\omega ; \quad n = 0, 1, 2, \dots$$

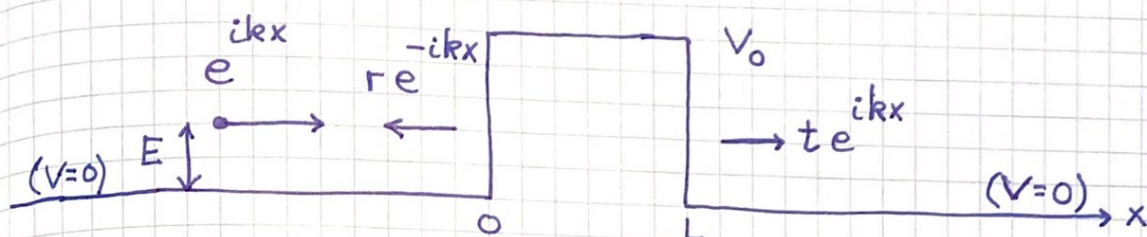
Dissosiasjonsenergien blir

$$V_0 - \frac{1}{2}h\omega$$

Tunneleffekt

[PCH 3.6; DFG 2.5-2.7; IØ 3.6]

(65)



Potensialbarriere V_0 på $0 < x < L$ kan realiseres med f.eks. et lag med $\text{Al}_{0.3}\text{Ga}_{0.7}\text{As}$ mellom GaAs . Potensialprofilen $V(x)$ tilsvarer da bunnen av ledningsbåndet i de to halvledermaterialene.

Antar partikkel (elektron) med skarp impuls $p = \hbar k$ inn fra venstre, energi $E = K = \hbar^2 k^2 / 2m$:

$$\psi_i(x) = e^{ikx} \quad (x < 0)$$

Bare to mulige utfall: Refleksjon, med sanns. R , og transmisjon (tunnelering hvis $E < V_0$), med sanns. $T = 1 - R$, slik at $R + T = 1$.

Reflektert bølge: $\psi_r(x) = r \cdot e^{-ikx} \quad (x < 0)$

Transmittert bølge: $\psi_t(x) = t \cdot e^{ikx} \quad (x > L)$

I barriereområdet $0 < x < L$:

$$\psi(x) = \begin{cases} A e^{\kappa x} + B e^{-\kappa x} & ; E < V_0 ; \kappa = \sqrt{2m(V_0 - E)} / \hbar \\ a e^{iqx} + b e^{-iqx} & ; E > V_0 ; q = \sqrt{2m(E - V_0)} / \hbar \end{cases}$$

Krav om kontinuerlige ψ og $d\psi/dx$ i $x=0$ og $x=L$ gir 4 ligninger som fastlegger A, B, r og t for $E < V_0$ og a, b, r og t for $E > V_0$.

[Se Notater 2016 s. 63-64 for detaljer.]

(66)

Vi må ha: $j_i = |j_r| + j_t$

Dvs. sanns. strøm inn j_i må tilsvare summen av reflektert og transmittert sanns. strøm, hvor $|j_r|$ og j_t .

Har generelt: $j = \text{Re} \left\{ \Psi^* \frac{\hbar}{im} \frac{d}{dx} \Psi \right\}$

Dermed:

$$j_i = \text{Re} \left\{ e^{-ikx} \frac{\hbar}{im} ik e^{ikx} \right\} = \frac{\hbar k}{m}$$

$$j_r = \text{Re} \left\{ r^* e^{ikx} \frac{\hbar}{im} (-ik) r e^{-ikx} \right\} = -|r|^2 \frac{\hbar k}{m}$$

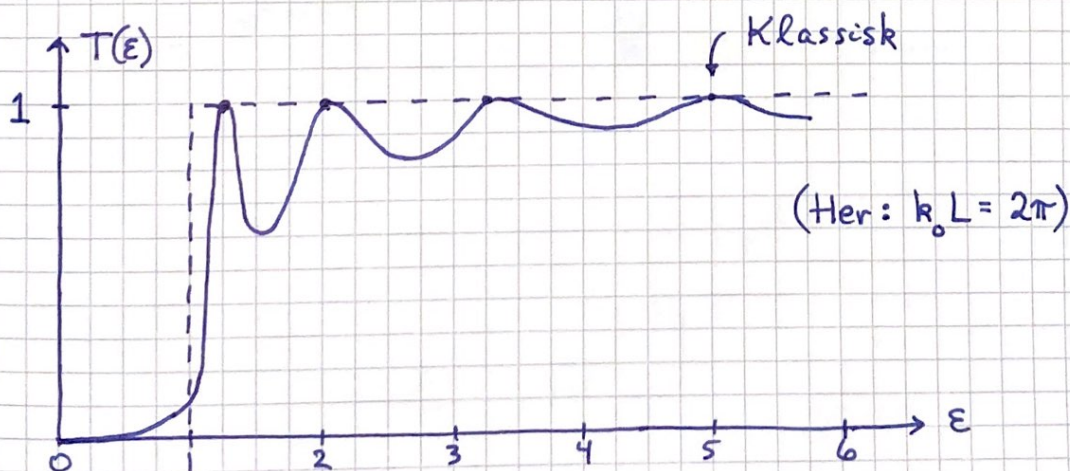
$$j_t = \text{Re} \left\{ t^* e^{-ikx} \frac{\hbar}{im} ik t e^{ikx} \right\} = |t|^2 \frac{\hbar k}{m}$$

Dvs, $|r|^2$ og $|t|^2$ er hvor andel reflektert og andel transmittert sannsynlighet, slik at

$$R = |r|^2, \quad T = |t|^2, \quad R + T = 1$$

Med vår "firkantbarriere", med $\epsilon = \frac{E}{V_0}$ og $k_0 = \frac{\sqrt{2mV_0}}{\hbar}$:

$$T = \begin{cases} \left[1 + \frac{\sinh^2(k_0 L \sqrt{1-\epsilon})}{4\epsilon(1-\epsilon)} \right]^{-1} & ; \quad \epsilon < 1 \\ \left[1 + \frac{\sin^2(k_0 L \sqrt{\epsilon-1})}{4\epsilon(\epsilon-1)} \right]^{-1} & ; \quad \epsilon > 1 \end{cases}$$

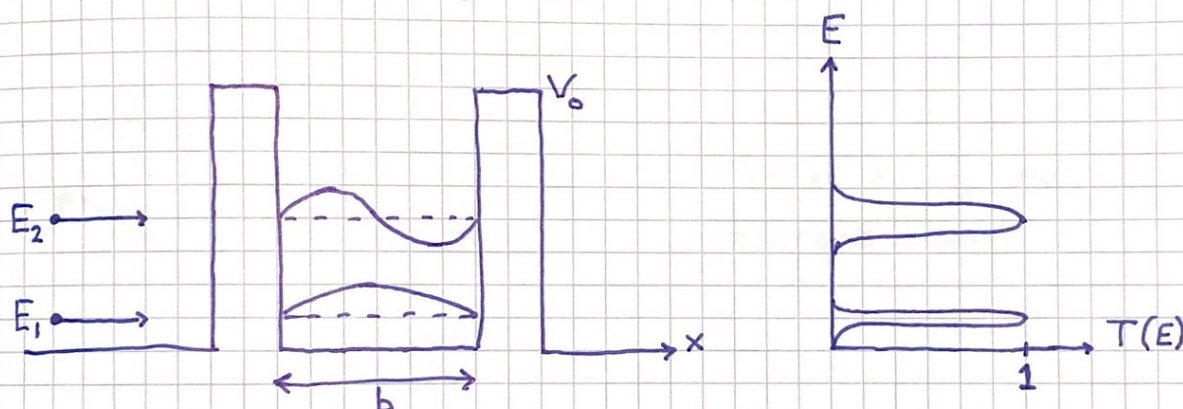


Merknader:

(67)

- Tunnelering: $T > 0$ for $E < V_0$. (Og $R > 0$ for $E > V_0$)
- Hvis $E \ll V_0$ og $k_0 L \gg 1$ er $\sinh(k_0 L \sqrt{V_0 - E}) \approx \frac{1}{2} e^{k_0 L} \gg 1$
 $\Rightarrow T \approx 16E \cdot \exp(-2k_0 L) \ll 1$
- $T = 1$ når $\sin(k_0 L \sqrt{E - V_0}) = 0$, dvs $k_0 L \sqrt{E - V_0} = n\pi$
og dermed $E - V_0 = K = n^2 \pi^2 \hbar^2 / 2mL^2$, som er energinivåene for partikkel i boks, der vi har stående bølger med bølgelengder $\lambda_n = 2L/n$ ($n=1,2,3,\dots$).

Resonant tunnelering:

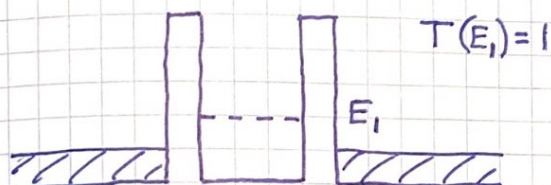
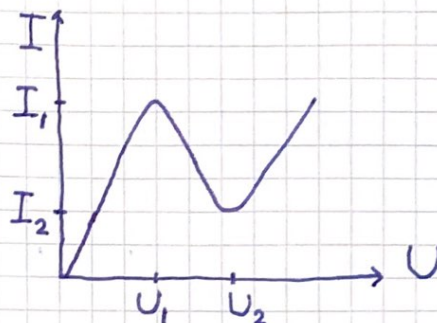
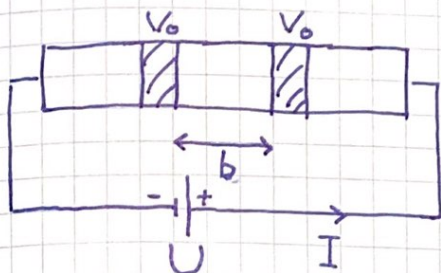


Resonans og stående bølger mellom barrierene
gir $T = 1$ når

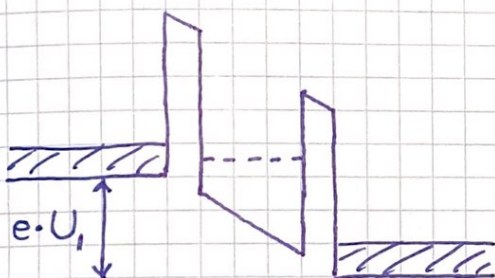
$$E_n = \frac{n^2 \pi^2 \hbar^2}{2mb^2} ; \quad \lambda_n = \frac{2b}{n} ; \quad n=1,2,\dots$$

Ekperimentelt:

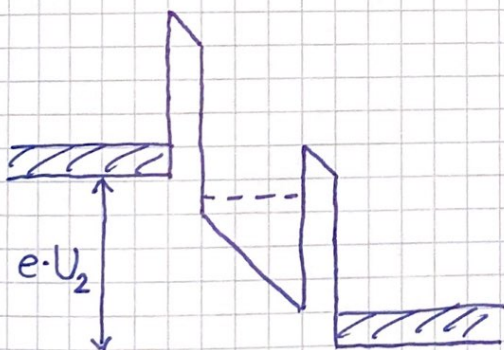
68



$$U = 0, I = 0$$



$U = U_1$
 Stor strøm I_1 pga
 resonant tunnelering



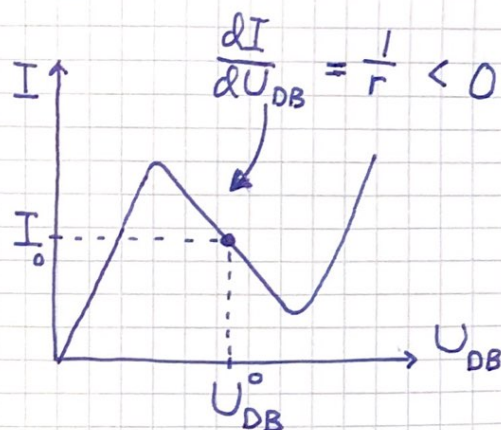
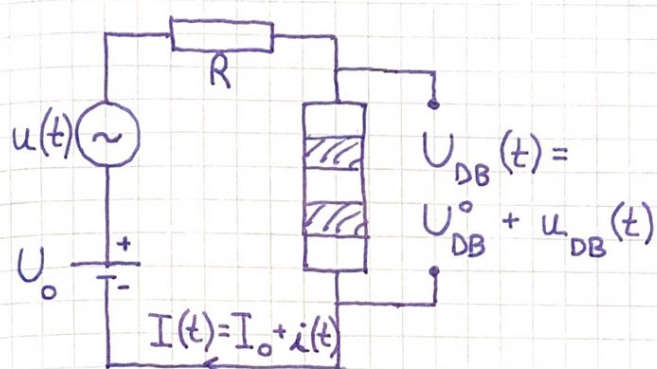
$U = U_2$
 Mindre strøm I_2

Negativ differensiell resistans for spenning
 mellom U_1 og U_2 :

$$r = dU/dI < 0$$

(69)

Anvendelse: AC forsterker



Med $u(t) = 0$: $U_0 = RI_0 + U_{DB}^0$

Med $u(t) = u_0 \sin \omega t$ ($u_0 \ll U_0$):

$$\begin{aligned} u_0 \sin \omega t &= u_{DB}(t) + Ri(t) \\ &= r i(t) + R i(t) = (r + R) i(t) \end{aligned}$$

$$\Rightarrow i(t) = \frac{u_0}{r + R} \sin \omega t ; \quad u_{DB}(t) = \frac{u_0 r}{r + R} \sin \omega t$$

Med $R \approx |r|$ blir AC-signalet $u_{DB}(t)$ en forsterket udgave af det påtrykte AC-signalet $u(t)$.

Eks: $R = \frac{4}{5} |r|$, og f.eks. $U_{DB}^0 = RI_0 = \frac{1}{2} U_0$

